

准考证号_____ 姓名_____
(在此卷上答题无效)

2023年4月福州市普通高中毕业班质量检测

物理试题

2023.4

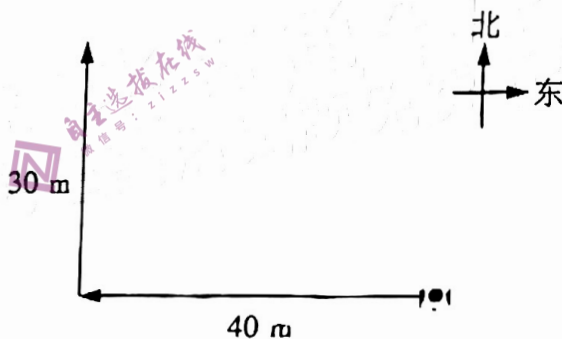
本试卷共6页，总分100分，考试时间75分钟。

注意事项：

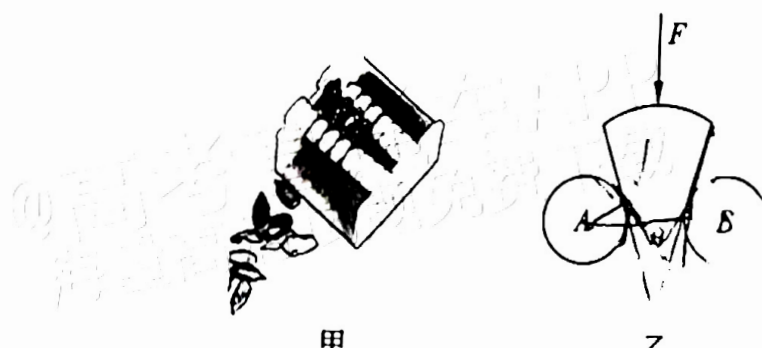
- 答卷前，考生务必将自己的姓名、准考证号填写在答题卡上。
- 回答选择题时，选出每小题答案后，用铅笔把答题卡上对应题目的答案标号涂黑。如需改动，用橡皮擦干净后，再选涂其他答案标号。回答非选择题时，将答案写在答题卡上。写在本试卷上无效。
- 考试结束后，将答题卡交回

一、单项选择题：本题共4小题，每小题4分，共16分。在每小题给出的四个选项中，只有一项是符合题目要求的。

1. 一架无人机在同一水平面内运动，初始时悬停于空中，开始运动后在5 s内向西沿直线飞行了40 m，之后经过5 s向北沿直线飞行30 m后再次悬停。无人机的运动轨迹俯视图如图所示，则无人机在整个运动过程中
- A. 平均速度大小为5 m/s
 - B. 平均速度大小为7 m/s
 - C. 平均速率为5 m/s
 - D. 平均速率为8 m/s

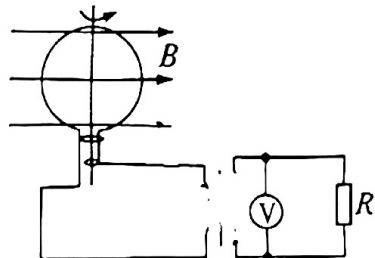


2. 有一种瓜子破壳器如图甲所示，将瓜子放入两圆柱体所夹的凹槽之间，按压瓜子即可破开瓜子壳。破壳器截面如图乙所示，瓜子的剖面可视作顶角为 θ 的扇形，将其竖直放入两完全相同的水平等高圆柱体A、B之间，并用竖直向下的恒力F按压瓜子且保持静止，若此时瓜子壳未破开，忽略瓜子自重，不计摩擦，则



- A. 若仅减小 A 、 B 距离，圆柱体 A 对瓜子的压力变大
 B. 若仅减小 A 、 B 距离，圆柱体 A 对瓜子的压力变小
 C. 若 A 、 B 距离不变，顶角 θ 越大，圆柱体 A 对瓜子的压力越大
 D. 若 A 、 B 距离不变，顶角 θ 越大，圆柱体 A 对瓜子的压力越小

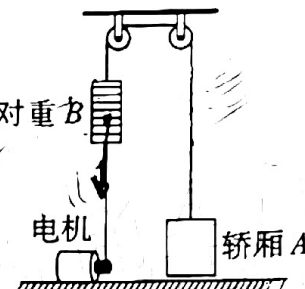
3. 如图所示，一圆形线圈在水平方向的匀强磁场中绕竖直方向的轴匀速转动，通过电刷与理想变压器原线圈相连，图示时刻圆形线圈平面与磁感线平行， R 为定值电阻，不计圆形线圈电阻，电压表为理想交流电表，则



- A. 图示时刻，电压表的读数为 0
 B. 若仅将圆形线圈匝数减少为原来的 $\frac{1}{2}$ ， R 两端电压减小为原来的 $\frac{1}{2}$
 C. 若仅将圆形线圈转速减少为原来的 $\frac{1}{2}$ ， R 消耗的电功率减小为原来的 $\frac{1}{2}$
 D. 若仅将变压器原线圈匝数减少为原来的 $\frac{1}{2}$ ，通过 R 的电流减小为原来的 $\frac{1}{2}$

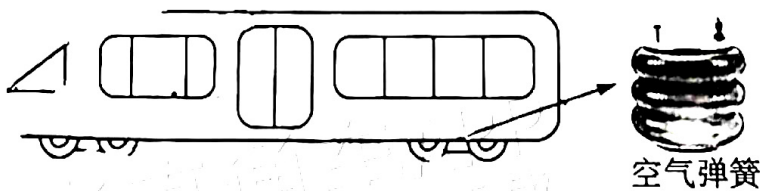
4. 某工地小型升降电梯的原理图如图所示，轿厢 A 、对重 B 通过轻质定滑轮通过足够长轻质缆绳连接，电机通过轻质缆绳拉动对重，使轿厢由静止开始向上运动，运动过程中 A 未接触滑轮、 B 未落地。已知 A 、 B 质量分别为 $M=600 \text{ kg}$ 、 $m=400 \text{ kg}$ ，电机输出功率恒为 $P=3 \text{ kW}$ ，不考虑空气阻力与摩擦阻力，重力加速度 g 取 10 m/s^2 ，则当轿厢速度为 1 m/s 时， A 、 B 之间轻质缆绳的拉力大小为

- A. 5400 N B. 6000 N
 C. 6600 N D. 7000 N



二、多项选择题：本题共 4 小题，每小题 6 分，共 24 分。每小题有两项符合题目要求，全部选对的得 6 分，选对但不全的得 3 分，有选错的得 0 分。

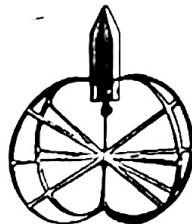
5. 中国制造的列车空气弹簧实现了欧洲高端铁路市场全覆盖，空气弹簧安装在列车车厢底部，可以起到有效减震、提升列车运行平稳性的作用。空气弹簧主要由活塞、气缸及密封在气缸内的一定质量气体构成。列车上下乘客及剧烈颠簸均会引起车厢震动。上下乘客时气缸内气体的体积变化较慢，气体与外界有充分的热交换；剧烈颠簸时气缸内气体的体积变化较快，气体与外界来不及热交换。若外界温度恒定，气缸内气体视为理想气体，则



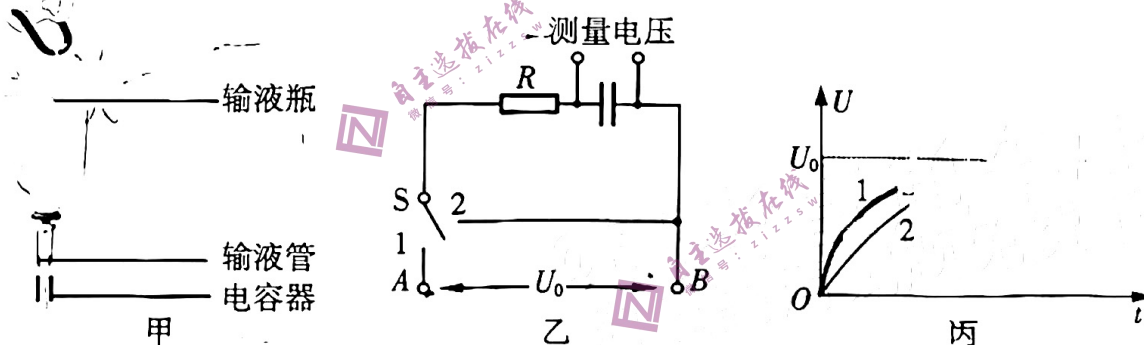
- A. 乘客上车造成气体压缩的过程中，空气弹簧内气体对外界放热
 B. 乘客上车造成气体压缩的过程中，空气弹簧内气体对外界做正功
 C. 剧烈颠簸造成气体压缩的过程中，空气弹簧内气体的内能增加
 D. 剧烈颠簸造成气体压缩的过程中，空气弹簧内气体分子的平均动能减小

6. 某研究小组研发了一款弹跳机器人，总质量仅为 30 g ，其结构如图所示，流线型头部内的微型电机先将碳纤维细条制成的弹性结构压缩，之后弹性势能迅速释放。在约为 10 ms 的时间内将机器人由静止加速到 28 m/s ，此时机器人恰好离开地面，接着沿竖直方向上升，离地最大高度为 33 m ，当地重力加速度为 9.8 m/s^2 ，则

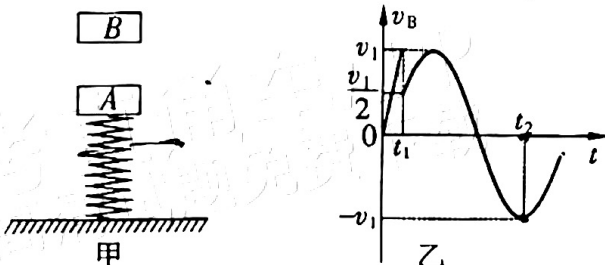
- A. 微型电机工作时，消耗的电能全部转化为弹性结构储存的弹性势能
- B. 机器人在 10 ms 的加速时间内平均加速度大小约为 2800 m/s^2
- C. 弹跳机器人在空中上升时加速度大小大于 9.8 m/s^2
- D. 弹跳机器人在空中上升的过程中机械能守恒



7. 目前大多数医院进行输液治疗时都采用传统的人工监护方式，为减轻医务人员负担，有不少输液传感器投入使用。某电容输液传感器测量装置示意图如图甲所示，测量电路如图乙所示， A 、 B 间接入恒定电压 U_0 ，自动控制开关 S 置于 1 时电容器充电、置于 2 时电容器放电。电容器在 S 的作用下周期性充放电，系统监测每次充电过程中电容器两端电压随时间的变化曲线，可自动判定输液管中是否有药液。在输液管中有药液和无药液的两次电容器充电过程中，电容器两端电压随时间的变化曲线如图丙所示，已知有药液时测量电路中的电容值更大，则



- A. 曲线 1 为有药液时的充电曲线
 - B. 曲线 2 为有药液时的充电曲线
 - C. 曲线 1 对应的情况下电容器充满电后所带的电荷量较大
 - D. 曲线 2 对应的情况下电容器充满电后所带的电荷量较大
8. 如图甲所示，质量为 m 的物块 A 与竖直放置的轻弹簧上端连接，弹簧下端固定在地面上。 $t=0$ 时，物块 A 处于静止状态，物块 B 从 A 正上方一定高度处自由落下，与 A 发生碰撞后一起向下运动（碰撞时间极短，且未粘连），到达最低点后又向上运动。已知 B 运动的 $v-t$ 图像如图乙所示，其中 $0 \sim t_1$ 的图线为直线，不计空气阻力，则

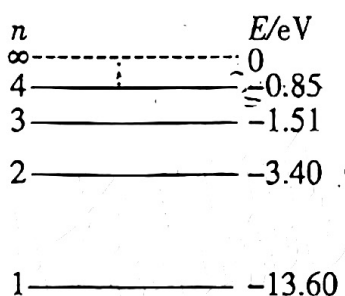


- A. 物块 B 的质量为 m
- B. $t=t_2$ 时，弹簧的弹性势能最大
- C. $t=\frac{5t_2+3t_1}{8}$ 时， B 速度为零
- D. $t=\frac{5t_2-t_1}{4}$ 时， A 、 B 开始分离

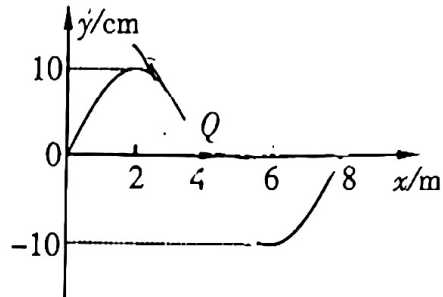
三、非选择题:共 60 分。考生根据要求作答。

9. (4分)

氢原子的能级示意图如图所示，现有大量处于 $n=3$ 能级的氢原子向低能级跃迁，最多能发出 _____ 种频率的光子；用这些光照射逸出功为 3.34 eV 的锌板，则锌板表面逸出光电子的最大初动能为 _____ eV。



第 9 题图



第 10 题图

10. (4分)

一列沿 x 轴传播的简谐横波在 $t=0$ 时的波形图如图所示，传播速度为 $v=2$ m/s，则该简谐横波的周期 $T=$ _____ s； $t=3$ s 时，位于 $x=4$ m 处的质点 Q 处于波谷位置，则该简谐横波沿 x 轴 _____ (选填“正”或“负”) 方向传播。

11. (5分)

某同学利用粗细均匀的细杆做成一个矩形框，并结合光电门的多组计时功能，设计了一个测量当地重力加速度 g 的实验。

(1) 实验步骤如下：

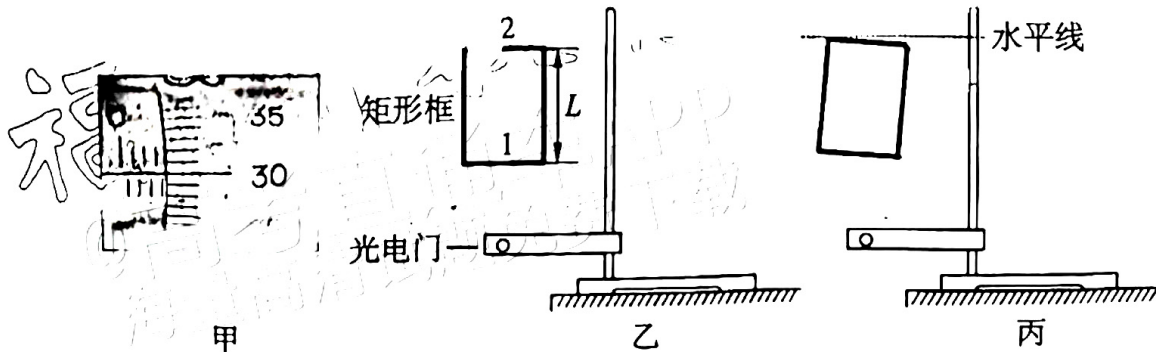
①用螺旋测微器测出细杆的直径 d 如图甲所示，则 $d=$ _____ mm；

②用刻度尺测出矩形框的长度为 L ；

③如图乙所示，将光电门固定在铁架台上并伸出桌面，将矩形框竖直放在光电门正上方，其中短杆 1、2 保持水平；

④静止释放矩形框，短杆 1、2 经过光电门时，分别得到挡光时间 t_1 、 t_2 ；

(2) 求得当地重力加速度 $g=$ _____ (用 d 、 L 、 t_1 、 t_2 表示)；

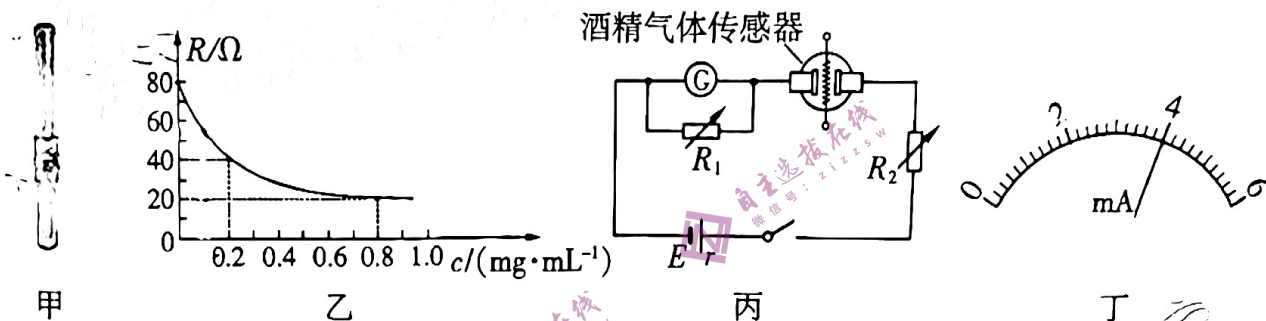


(3) 如图丙所示，若释放的时候矩形框短杆部分未水平放置，与水平方向成一小角度，则 g 的测量值 _____ 真实值 (选填“大于”、“等于”或“小于”)。

12. (7分)

酒驾严重危害交通安全，喝酒不开车已经成为准则。某款酒精检测仪如图甲所示，核心部件为酒精气体传感器，其电阻 R 与酒精气体浓度 c 的关系如图乙所示。某同学想利用该酒精气体传感器设计一款酒精测量仪，除酒精气体传感器外，在实验室中找到了如下器材：

- A. 干电池组（电动势 $E=3.0\text{ V}$, 内阻 $r=1.2\Omega$ ）
- B. 表头 G（满偏电流 6.0 mA , 内阻 $R_g=42\Omega$ ）
- C. 电阻箱 R_1 （最大阻值 9999.9Ω ）
- D. 电阻箱 R_2 （最大阻值 9999.9Ω ）
- E. 开关及导线若干



- (1) 该同学设计的测量电路如图丙所示，他首先将表头 G 量程扩大为 90 mA ，则应将电阻箱 R_1 的阻值调为 11Ω ；
- (2) 如图丁所示，该同学想将酒精气体浓度为零的位置标注在表头上 2 mA 处，则应将电阻箱 R_2 的阻值调为 18Ω ；
- (3) 完成步骤(2)后，某次在实验室中试测酒精浓度时，表头指针如图丁所示。已知酒精浓度在 $0.2 \sim 0.8\text{ mg/mL}$ 之间属于饮酒驾驶；酒精含量达到或超过 0.8 mg/mL 属于醉酒驾驶，则该次测试的酒精浓度属于 $0.2 \sim 0.8\text{ mg/mL}$ 范围（选填“酒驾”或“醉驾”）；
- (4) 使用较长时间后，干电池组电动势降低，内阻增大，则此时所测的酒精气体浓度与真实值相比 $偏大$ （选填“偏大”“偏小”或“不变”）。

13. (12分)

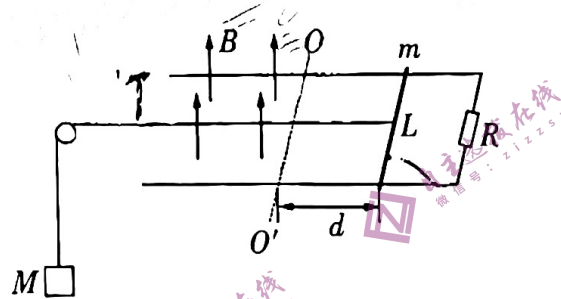
在第 73 届国际宇航大会上，我国“天问一号”火星探测任务团队被国际宇航联合会授予 2022 年度“世界航天奖”。天问一号着陆器在着陆火星的动力减速阶段，从火星表面附近以 $v_0=96\text{ m/s}$ 的初速度竖直向下做匀减速运动，经 $t=80\text{ s}$ 速度减为 0。已知着陆器质量约为 $m=1200\text{ kg}$ ，火星表面重力加速度 g 取 4 m/s^2 ，忽略火星自转，求：

- (1) 着陆器在动力减速阶段下降的距离 h ；
- (2) 着陆器在动力减速阶段所受阻力大小 f ；
- (3) 若火星的半径是地球半径的 $\frac{1}{2}$ ，地球表面重力加速度 g 取 10 m/s^2 ，求火星与地球的质量之比。

1. (12分)

如图所示，间距为 $L=1\text{ m}$ 的水平导轨右端接有 $R=1\Omega$ 的定值电阻。虚线 OO' 与导轨垂直，其左侧有方向竖直向上、大小为 $B=1\text{ T}$ 的匀强磁场。一质量 $m=0.9\text{ kg}$ 的金属棒垂直于导轨放置在距 OO' 右侧 $d=2\text{ m}$ 处，一重物通过绕过轻质定滑轮的绝缘轻绳与金属棒连接。 $t=0$ 时，将金属棒由静止释放，在 $t_1=2\text{ s}$ 时，金属棒恰好经过 OO' 边界进入磁场。已知导轨足够长，不计导轨与金属棒电阻，金属棒始终垂直导轨且与导轨接触良好，重物始终未落地，重力加速度 g 取 10 m/s^2 ，不计一切摩擦，求：

- (1) 金属棒进入磁场前的加速度大小 a 及重物的质量 M ；
- (2) 金属棒刚进入磁场时，电阻的热功率 P ；
- (3) $t_2=3\text{ s}$ 时金属棒速度为 $v=1.37\text{ m/s}$ ，求此时金属棒与 OO' 的距离 x 。



15. (16分)

如图甲所示，离子源持续逸出带电量为 $+q$ 、质量为 m 的离子，其初速度视为 0，离子经过加速电场后，以速度 v_0 沿两平行极板 PQ 的中线飞入交变电场。已知极板 P 、 Q 水平放置，间距为 d ，长度为 L ，极板上所加的交变电压如图乙所示，变化周期 $T=\frac{L}{v_0}$ ，所有离子均能从 PQ 极板右侧射出，不计离子重力及离子间相互作用，求：

- (1) 加速电场的电压大小 U_0 ；
- (2) PQ 极板间所加电压 U 的最大值 U_m ；
- (3) 当 PQ 极板间交变电压为 (2) 问中所求的 U_m 时，在 PQ 极板右侧建立 $O-xyz$ 直角坐标系，其中 Ox 与极板 Q 的中轴线在同一直线上，图中的两个正方体边长均为 d ，正方体 $OCDE-O_1C_1D_1E_1$ 区域内存在沿 y 轴正方向、大小为 $B_1=\frac{3mv_0}{5qd}$ 的匀强磁场，正方体 $CDGH-C_1D_1G_1H_1$ 区域内存在沿 x 轴正方向、大小为 $B_2=\frac{9mv_0}{10qd}$ 的匀强磁场，求离子在正方体 $CDGH-C_1D_1G_1H_1$ 区域内运动的最长时间。

